

آنالیز خطأ و کالیبراسیون مکانیزم استوارت

آریا الستی^۱، علی عظیمی^۲

قطب علمی طراحی، رباتیک و اتوماسیون

دانشکده مهندسی مکانیک، دانشگاه صنعتی شریف

E-mail: Aalasti@sharif.edu

چکیده

امروزه مکانیزم‌های موازی نظری مکانیزم استوارت، علاوه بر شبیه‌سازهای پرواز، در روبات‌های جراح و ماشین‌های ابزار نیز مورد استفاده قرار می‌گیرند. بنابراین آنالیز خطأ و حساسیت مجموعه برای دستیابی به دقت لازم در ساخت و همچنین به جهت انتخاب حسگرهای برای دستیابی به دقت مطلوب در خروجی مجموعه، امری کاملاً ضروری است. بنابراین مدلی که خطاهای ناشی از اندازه‌گیری و ساخت را بتوان در آن در نظر گرفت، برای حالت کاملاً عمومی مکانیزم استوارت به دست آمده و در به دست آوردن آن از حل سینماتیکی هر کدام از مجموعه‌های سری مکانیزم استوارت استفاده شده است. برای اثبات اعتبار کار انجام شده نیز یک مدل با در نظر گرفتن انواع خطاهای در نرم‌افزار ویژوال نسترن (Visual Nastran) ساخته شده است. نهایتاً با یک الگوریتم شناسایی نیز، برای مدل کاهش یافته و مدل کامل، شناسایی انجام شده و پارامترهای خطأ به دست آمده‌اند.

واژه‌های کلیدی: مکانیزم استوارت - آنالیز خطأ - آنالیز حساسیت - شناسایی

نظر قرار داده بودند. راپون (Ropponen) و آرای (Arai) [۱]، مدل خطای را با استفاده از مشتق‌گیری معادلات سینماتیکی به دست آورden. پتل (Patel) و اهمان (Ehmann) [۲] نیز در مدل خود بدون توجه به متابع ایجاد خطأ، از بردارهای خطای مختلفی استفاده نمودند در حالی که پیدا کردن این بردارهای خطأ، میزان دقت مورد نیاز در ساخت را مشخص نمی‌کند. کیم (Kim) و چوی (Choi) [۳] نیز روشی را برای تعیین محدوده‌های خطاهای مجاز به صورت مستقیم و معکوس ارائه دادند. در حل مستقیم، میزان خطای خروجی با در دست داشتن خطاهای ساخت حاصل می‌شود و در حل معکوس نیز هدف تعیین میزان ترانس مجاز در ساخت با داشتن دقت مورد نیاز در خروجی بوده است ولی به دلیل اینکه برای مدل‌سازی از مدل راپون و آرای استفاده شده است؛ به صورت مجزا، ترانس ماشین کاری را مشخص نمی‌کند. مدلی که در مقاله حاضر از مکانیزم ارائه شده است ادامه

مقدمه

مکانیزم استوارت یکی از معروف‌ترین انواع مکانیزم‌های موازی است. این مکانیزم که اولین بار در سال ۱۹۶۵ توسط دی. استوارت (D. Stewart) برای یک شبیه‌ساز پرواز استفاده شد، یکی از پرطرفدارترین عنوان‌های تحقیقاتی دهه ۱۹۸۰ در زمینه روباتیک بوده است. در دهه ۱۹۹۰ تحقیقات در زمینه مکانیزم‌های موازی به طور عمده و مکانیزم استوارت به طور خاص افزایش یافت تا جایی که تنها در سال ۱۹۹۵ بیش از پنجاه مقاله در این زمینه عرضه شدند [۱]. در زمینه مدل‌سازی خطأ، وانگ (Wang) و ماسوری (Masory) [۲] مدلی را با استفاده از تحلیل هر کدام از مجموعه‌های سری مکانیزم به دست آوردن که در آن بعضی از خطاهای ناشی از ساخت را مد

۱- استادیار

۲- دانشجوی کارشناسی ارشد طراحی کاربردی

$H_s(i)$: ارتفاع مفصل کروی
 $d_5(i)$: طول مرده عملگر خطی
 در بدست آوردن مدل نامی فرضیات ساده کننده زیر در نظر گرفته شده‌اند:
 کلیه مفاصل ایده‌آل فرض شده‌اند. بدین معنی که محورهای دوران آنها بر یکدیگر عمود بوده و در یک نقطه متقطع باشند که به این نقطه، مرکز مفصل گفته می‌شود. عملگرها به گونه‌ای به مفاصل متصل شده‌اند که خط مرکزی آنها از مرکز مفاصل کروی و یونیورسال بگذرد. مفاصل دقیقاً در همان موقعیت فرض شده قرار گرفته‌اند. طول عملگرهای خطی به طور دقیق قابل اندازه‌گیری است و خطایی در اندازه‌گیری وجود ندارد.
 با این فرضیات، مفاصل کروی و یونیورسال را می‌توان به صورت نقاطی در نظر گرفت که به وسیله یک خط (عملگر خطی) به هم متصل شده‌اند. (شکل ۱)
 به جهت اینکه بتوان انواع مختلف منابع خطایی را که ممکن است در موقع ساخت و استفاده از مکانیزم پیش آید، در مدل در نظر گرفت، مدل دقیق مجموعه معرفی می‌شود. به جهت اینکه بتوان اثر هر یک از منابع خط را هم به صورت مجزا و هم توامان در نظر گرفت، هر یک از عملگرها همراه با مفاصل آن، یک مجموعه شش درجه آزادی سری در نظر گرفته می‌شود (یک روبات 2R-P-3R همراه با سه تبدیل اضافی که برای ارتباط بین B و P اضافه شده‌اند (شکل ۲). برای تحلیل هر یک از این مجموعه‌های سری نیز از استاندارد دناویت-هارتبرگ (Denavit-Hartenberg [۶] استفاده می‌شود. بنابراین ابتدا مدل نامی مورد بررسی قرار می‌گیرد و دستگاه‌های مختصات به کار رفته در آن مطابق زیر هستند:
 دستگاه مختصات B که دستگاه پایه است؛ دستگاه (۱) که یک دستگاه واسطه بین B و محل مفصل یونیورسال است؛ دستگاه‌های (۲) و (۳) که مربوط به دو محور مفصل یونیورسال هستند (شکل ۳)؛ دستگاه (۴) که مربوط به عملگر است و متغیر آن نیز طول افروده شده عملگر است؛ دستگاه (۵) اتصال بین عملگر و مفصل کروی را نشان می‌دهد و بیانگر محور اول دوران مفصل کروی است؛ دستگاه‌های (۶) و (۷) محورهای دوم و سوم دوران مفصل کروی را نشان می‌دهند؛ دستگاه (۸) یک دستگاه واسطه

کار وانگ و ماسوری است و در به دست آوردن آن، هر یک از منابع خطا به صورت مجزا در نظر گرفته شده‌اند. بنابراین به راحتی می‌توان علاوه بر مشاهده تأثیر مجموعه‌ای از خطاهای تأثیر گرفته شده‌اند. نیز بررسی کرد و از طریق آن می‌توان برای هر یک از منابع خطا (خطا در ساخت صفحه پایه، ساخت لینک، ساخت مفاصل، مونتاژ و ...) آنالیز حساسیت انجام داد.

مدل‌سازی مکانیزم استوارت

همانطور که در شکل (۱) نشان داده شده، یک مکانیزم استوارت از شش عملگر خطی، یک صفحه ثابت و یک صفحه متحرک ساخته شده است. هر کدام از عملگرها، توسط یک مفصل یونیورسال و یک مفصل کروی، به ترتیب به صفحات ثابت و متحرک متصل شده‌اند. برای واقعی‌تر شدن مدل، فرض شده که مفاصل یونیورسال و کروی، با یک فاصله نسبت به صفحات خود (که مربوط به ساخت این مفاصل و اتصال آنها بر روی این صفحات است) قرار گرفته باشند. برای لینک‌ها یک طول مرده نیز در نظر گرفته شده است و فاصله بین مراکز مفاصل کروی و یونیورسال را در حالتی که لینک تا حد ممکن جمع شده است، نشان می‌دهد. موقعیت مفاصل بر روی صفحات نیز با مختصات قطبی بیان شده است. دستگاه مختصات B بر روی صفحه ثابت چسبانده شده و محور Z آن بر صفحه عمود می‌باشد. دستگاه مختصات P نیز بر روی صفحه عمود متحرک چسبانده شده و محور Z آن بر صفحه عمود می‌باشد. بنابراین با توجه به شکل (۱)، مشخصات هندسی مدل نامی مکانیزم استوارت در نظر گرفته شده، مطابق زیر است:

$R_B(i)$: فاصله محل مفصل یونیورسال شماره i از مبدأ دستگاه مختصات B

$R_P(i)$: فاصله محل مفصل کروی شماره i از مبدأ دستگاه مختصات P

α_{B0} : زاویه قرارگیری مفاصل یونیورسال بر روی صفحه پایه

α_p : زاویه قرارگیری مفاصل کروی بر روی صفحه متحرک

$H_u(i)$: ارتفاع مفصل یونیورسال

$\beta(i)$ مقدار زاویه‌ای است که محور اول مفصل یونیورسال با صفحه پایه از حالت موازی بودن خارج می‌شود. زاویه بین Z_2 و Z_B برابر با $\beta(i) + 90^\circ$ است.

$a_0(i)$ مربوط به ساخت مفصل یونیورسال است و فاصله عمودی دو محور مفصل را نشان می‌دهد. (شکل ۵)

$\alpha_0(i)$ مقدار انحراف دو محور مفصل یونیورسال از حالت عمودی را نشان می‌دهد. (شکل ۵)

$d_1(i)$ و $a_1(i)$ خطاهای مربوط به مونتاژ مفصل یونیورسال به عملگر است.

$\delta d_4(i)$ خطای طولی عملگر است. یک بخش این خطای مربوط به سنسوری است که طول عملگر را نشان می‌دهد و بخش دیگر مربوط به اختلاف طول مرده واقعی با طول مرده نامی است.

$a_2(i)$ خطای مونتاژ بین مفصل کروی و عملگر است.

$\delta R_p(i)$ خطای قرارگیری مفصل کروی در روی صفحه متحرک است.

$\gamma_p(i)$ خطای قرارگیری زاویه‌ای مفصل کروی در روی صفحه متحرک است.

$\delta H_u(i)$ خطای مربوط به ارتفاع مفصل یونیورسال است.

$\delta H_s(i)$ خطای مربوط به ارتفاع مفصل کروی است.

پارامترهای نامی مکانیزم نیز در قسمت قبل توضیح داده شدند. متغیرهای مفصلی نیز شامل موارد زیر هستند:

(i) θ_2 و (ii) θ_3 مقدار دوران در محورهای مفصل یونیورسال را نشان می‌دهند و بین 90° و 90° می‌توانند تغییر کنند.

(iii) d_4 افزایش طول عملگر را نشان می‌دهد.

(iv) θ_5 اولین دوران در مفصل کروی را نشان می‌دهد.

(v) θ_6 و (vi) θ_7 دو دوران دیگر در مفصل کروی را نشان می‌دهند و بین 90° و 90° می‌توانند تغییر کنند.

لازم به ذکر است که در به دست آوردن مدل فوق، فرض شده است که هر مفصل کروی از یک کره کامل تشکیل شده و خطایی از این نظر در معادلات در نظر گرفته نشده است. خطاهایی که برای مفصل کروی در نظر گرفته شده‌اند، شامل خطای اتصال به عملگر، خطای ارتفاعی مفصل و خطای قرارگیری بر روی صفحه متحرک است. بنابراین بر اساس استاندارد دناویت-هارتبرگ، مشخصات سینماتیکی مجموعه مطابق جدول (۲) است. که در آن:

است و شبیه دستگاه (۱) می‌باشد؛ دستگاه P نیز به صفحه متحرک چسبانده شده است. بنابراین جدول شامل پارامترهای سینماتیکی مدل نامی مکانیزم استوارت، بر اساس استاندارد دناویت-هارتبرگ مطابق جدول (۱) است. بر این اساس هر یک از ماتریس‌های تبدیل T_i به صورت زیر به دست می‌آیند [۶]:

$$T_i = \begin{bmatrix} c\theta_i & -s\theta_i & 0 & a_{i-1} \\ s\theta_i c\alpha_{i-1} & c\theta_i c\alpha_{i-1} & -s\alpha_{i-1} & -s\alpha_{i-1} d_i \\ s\theta_i s\alpha_{i-1} & c\theta_i s\alpha_{i-1} & c\alpha_{i-1} & c\alpha_{i-1} d_i \\ 0 & 0 & 0 & 1 \end{bmatrix} \quad (1)$$

که در آن c بیانگر کسینوس و s بیانگر سینوس زاویه است. نهایتاً از دستگاه (۸) به دستگاه P نیز یک ماتریس تبدیل به صورت زیر به دست می‌آید:

$$T_p = \begin{bmatrix} \cos \alpha_p(i) & \sin \alpha_p(i) & 0 & -R_p \\ -\sin \alpha_p(i) & \cos \alpha_p(i) & 0 & 0 \\ 0 & 0 & 1 & H_s(i) \\ 0 & 0 & 0 & 1 \end{bmatrix} \quad (2)$$

بنابراین ماتریس تبدیل بین B و P به ترتیب زیر به دست می‌آید:

$${}^P_B T = T_1 T_2 T_3 T_4 T_5 T_6 T_7 T_8 T_p \quad (3)$$

تعیین مساله به مدل دقیق

در مدل‌سازی دقیق مجموعه، یعنی حالتی که خطاهای احتمالی نیز باید در سینماتیک مساله وارد شوند، از همان دستگاه‌های مختصات توضیح داده شده استفاده می‌شود؛ با این تفاوت که مقادیری تحت عنوان خطاهای مختلف، در جدول مربوط به پارامترهای دناویت-هارتبرگ نیز وارد می‌شوند. این خطاهای عبارتند از:

(i) $\alpha_{B1}(i)$ خطای جهت‌گیری مفصل یونیورسال شماره ۱ را روی صفحه پایه نشان می‌دهد. (شکل ۴)

(ii) $\delta R_B(i)$ خطای مونتاژ مفصل یونیورسال بر روی صفحه پایه است. (شکل ۴)

(iii) $\gamma_B(i)$ خطای قرارگیری زاویه‌ای مفصل یونیورسال بر روی صفحه پایه است. (شکل ۴)

حول محور y و γ دوران حول محور z را نشان دهد
و d_x و d_y و d_z نیز مکان مرکز مختصات P نسبت به B
را بیان کنند، ماتریس تبدیل بین P و B به صورت زیر به
دست می آید:

$${}^P_B T = \begin{bmatrix} c\beta c\gamma & -c\beta s\gamma & s\beta & d_x \\ s\alpha s\beta c\gamma + c\alpha s\gamma & -s\alpha s\beta s\gamma + c\alpha c\gamma & -s\alpha c\beta & d_y \\ -c\alpha s\beta c\gamma + s\alpha s\gamma & c\alpha s\beta s\gamma + s\alpha c\gamma & c\alpha c\beta & d_z \\ 0 & 0 & 0 & 1 \end{bmatrix} \quad (7)$$

بنابراین با در نظر گرفتن پارامترهای نامی (جدول ۱) و استفاده از معادلات (۳) و (۷)، معادلات مربوط به سینماتیک وارون به دست آمده و از آنها پارامترهای مفصلی محاسبه می شوند که به دلیل طولانی بودن عبارات، از آوردن آنها خودداری شده است. برای سینماتیک وارون کلی نمی توان حل تحلیلی ارائه کرد. بنابراین از روش های حل عددی استفاده شده است.
الگوریتم حل به صورت زیر است:

- به دست آوردن تخمین اولیه با استفاده از حل سینماتیک وارون

- اعمال تخمین اولیه به عنوان ورودی به معادلات سینماتیک وارون کلی و حل معادلات با استفاده از تابع $.MATLAB$ $fsolve$

استفاده از مدل نامی برای به دست آوردن تخمین اولیه باعث می شود که علاوه بر سریع تر همگرا شدن، از همگرایی الگوریتم نیز اطمینان حاصل شود.

سینماتیک مستقیم مکانیزم استوارت

در این حالت طول واقعی لینکها و پارامترهای نامی و واقعی مساله داده شده اند و باید موقعیت واقعی عملگر نهایی را یافت. در این قسمت نیز از روش های عددی برای حل استفاده می شود. روشی که در اینجا از آن بهره گرفته می شود، یک روش گرادیان است که تابع وزن زیر را کمینه می کند [۷۲ و ۷۳].

$$Q(x) = \sum_{i=1}^6 |d_i^a - f_i(x, u)| \quad (8)$$

در این معادله، d_i^a طول واقعی عملگر شماره i ($f_i(x, u)$) تابع سینماتیک وارون مساله، x موقعیت صفحه متحرک و u شامل پارامترهای واقعی و نامی مساله است.

$$\begin{aligned} d_0(i) &= (R_B(i) + \delta R_B(i)) \frac{\sin \alpha_{B1}(i)}{\cos \beta(i)} \\ a_B(i) &= (R_B(i) + \delta R_B(i)) \cos \alpha_{B1}(i) \\ d_{B1}(i) &= (R_B(i) + \delta R_B(i)) \sin \alpha_{B1}(i) \tan \beta(i) \\ &\quad - H_u(i) - \delta H_u(i) \end{aligned} \quad (4)$$

هر یک از ماتریس های تبدیل T_i نیز بر اساس معادله (۱) به دست می آیند. نهایتا مشابه قبل، از دستگاه (۸) به نیز یک ماتریس تبدیل به صورت زیر تعریف می شود:

$$T_p = \begin{bmatrix} \cos A & \sin A & 0 & -R_p(i) - \delta R_p(i) \\ -\sin A & \cos A & 0 & 0 \\ 0 & 0 & 1 & H_s(i) + \delta H_s(i) \\ 0 & 0 & 0 & 1 \end{bmatrix} \quad (5)$$

که در آن:

$$A = \alpha_p(i) + \gamma_p(i) \quad (6)$$

بنابراین ماتریس تبدیل بین B و P از معادله (۳) به دست می آید.

سینماتیک وارون مکانیزم استوارت

در سینماتیک وارون مساله، موقعیت واقعی عملگر نهایی، پارامترهای نامی و پارامترهای واقعی معلوم می باشند و باید مقادیر واقعی متغیرهای مفصلی شامل طول لینکها و زوایای هر یک از مفاصل، تعیین شوند. برای حل نیز از حل سینماتیک وارون هر یک از سری ها استفاده می شود (شکل ۲). برای اکثر روبات های صنعتی، روش های حل تحلیلی در مساله سینماتیک وارون نامی موجود است اما لزوما یکتا نیست. اما برای سینماتیک وارون هر یک از مجموعه های سری مکانیزم استوارت با در نظر گرفتن مدل نامی، حل تحلیلی وجود داشته و یکتا می باشد. یکتایی جواب نیز به علت وجود محدودیت های فیزیکی است که مفاصل کروی و یونیورسال ایجاد می کنند و پیشتر توضیح داده شدند. برای در نظر گرفتن موقعیت زاویه ای صفحه متحرک، از زوایای اول xyz استفاده شده است زیرا نهایتا برای بررسی اعتبار مدل شبیه سازی شده توسط این روش، کل مجموعه در نرم افزار ویژوال نسترن نیز مدل شده و در این نرم افزار موقعیت زاویه ای صفحه با این زوایا نشان داده می شود. بنابراین اگر α دوران حول محور x β دوران

پارامترهای خطای به کار رفته نیز عبارتند از:

$$\delta R_B = \delta R_P = (3,1,-4,0,4,-4)mm$$

$$\gamma_B = (1,-1,0.5,0,-0.5,-1)deg$$

$$\delta d_4 = (1,-1,-0.5,0.3,0,-0.8)mm$$

$$a_0 = (-0.5,0,0.4,0.2,-0.2,0.5)mm$$

$$a_1 = d_1 = (-1,2,0,-3,1,3)mm$$

$$\alpha_{B1} = (5,0,-3,4,-5,-2)deg$$

کالیبراسیون

الگوریتم کالیبراسیونی که در ادامه می‌آید، در حقیقت به شناسایی پارامترهای خطای بر اساس مدل خطای معروفی شده می‌پردازد. یعنی پردازشگر روبات باید به جای استفاده از مدل نامی، از مدل واقعی به دست آمده بهره بگیرد و پارامترهای خطای را با استفاده از این الگوریتم شناسایی پیدا کند. با توجه به مرحله قبل، منابع خطایی که بر خروجی تاثیری ندارند از مدل خطا حذف شده‌اند. برای انجام کالیبراسیون فرض می‌شود که به تعداد m پارامتر خطای در مدل وجود داشته باشد، بنابراین الگوریتم حل مطابق زیر است [۸]:

n موقعیت خروجی ($n \geq m$) برای مجموعه در نظر گرفته می‌شود. سپس یک مقدار اولیه برای خطای فرض می‌شود. به ازای مقادیر خطایها و طول عملگرها، با استفاده از سینماتیک مستقیم کلی، موقعیت خروجی به دست از سینماتیک مستقیم کلی، موقعیت خروجی به دست $6n \times 1$ است و از می‌آید. سپس δX_k که یک بردار $6n \times 1$ است و از بردارهای 6×1 δX_{ik} ساخته شده، بر اساس معادله (۹) به دست می‌آید.

$$\delta X_k = [\delta X_{1k}^T \quad \delta X_{2k}^T \quad \dots \quad \delta X_{nk}^T]^T \quad (9)$$

δX_k در حقیقت از تفاضل خروجی‌های واقعی و خروجی‌های مرحله k به دست می‌آید. در این مرحله، نرم δX_k حساب می‌شود که اگر از یک مقدار کمتر باشد، شناسایی انجام شده است. سپس ماتریس ژاکوی شناسایی (J_k) تعیین می‌شود و از طریق آن ضریب تصحیح δu_k بر اساس معادله (۱۰) به دست می‌آید.

$$\delta u_k = [(J_k^T J_k)^{-1} J_k^T] \delta X_k \quad (10)$$

تعیین ماتریس ژاکوی شناسایی

شبیه سازی

با توجه به مطالب گفته شده، برای حل سینماتیک مجموعه، برنامه‌هایی به زبان MATLAB نوشته شده‌اند. برای اطمینان از صحت مطالب گفته شده و مدل‌سازی انجام گرفته، مدل واقعی دیگری (همراه با انحراف از مدل نامی) در نرم‌افزار ویژوال نسترن ساخته شد (شکل ۶) و خروجی‌ها مقایسه و تأیید شدند.

تأثیر منابع خطایی مختلف در خروجی

به جهت بررسی تأثیر هر یک از خطایها در خروجی مجموعه و تعیین میزان حساسیت مجموعه نسبت به هر یک از خطایها، نمودارهای شکل (۷) به ترتیب زیر رسم شده‌اند:

۱- رباتی که در آن یک منبع خطایی وجود دارد، در نظر گرفته می‌شود.

۲- با استفاده از حل سینماتیک وارون نامی، به ازای یک موقعیت فرضی خروجی، طول لینک‌ها محاسبه می‌گردد.

۳- به ازای طول لینک‌های محاسبه شده و سینماتیک مستقیم کلی، خروجی (موقعیت صفحه متحرک) به دست می‌آید.

۴- از تفاضل خروجی به دست آمده و خروجی اولیه فرض شده، مقادیر خطای مربوط به مکان و جهت صفحه به دست می‌آیند.

در رسم این نمودارها، موقعیت اولیه فرض شده $x = y = \alpha = \beta = \gamma = 0$ و $z = 0.6\text{ m}$ هر کدام از نمودارها، یک مختصه تغییر کرده و بقیه همان مقادیر فوق هستند.

همچنین خطایهای α_{B1} و β و α_0 در خروجی اثری ندارند. a_1 و d_1 نیز تأثیر بسیار کمی می‌گذارند. بنابراین می‌توان تعیین کرد که مجموعه نسبت به کدام پارامترها حساس است و میزان حساسیت را نیز می‌توان به وسیله رسم نمودارها تحقیق کرد. مشخصات مکانیزم استوارت شبیه سازی شده:

$$R_B = 500mm, R_P = 300mm, d_5 = 300mm$$

$$H_s = 30mm, H_u = 50mm$$

$$\alpha_{B0} = (30, 90, 150, 210, 270, 330)deg$$

$$\alpha_P = (15, 105, 135, 225, 255, 345)deg$$

1. B., Dasgupta, T. S., Mruthyunjaya, "The Stewart Platform Manipulator: a review", Mechanism and Machine Theory, 35, 15-40, 2000.
2. J., Wang, O., Masory, "On the Accuracy of Stewart Platform – Part I, The Effect of Manufacturing Tolerances", Proceedings IEEE Int. Conference on Robotic and Automation, 1, 114-120, 1993.
3. T., Ropponen, T., Arai, "Accuracy Analysis of a Modified Stewart Platform Manipulator", Proceeding IEEE Int. Conference on Robotic and Automation, 1, 521-525, 1995.
4. A. J., Patel, K. F., Ehmann, "Volumetric Error Analysis of of a Stewart Platform Based Machine Tool", Annals of the CIRP, 46, 287-290, 1997.
5. H. S., Kim, Y. J., Choi, "The Kinematic Error Bound Analysis of the Stewart Platform", Journal of Robotic Systems, 17(1), 63-73, 2000.
6. ج. کریگ؛ ترجمۀ ع. مقداری، ف. میرفخرابی، مکانیک و کنترل در روباتیک، انتشارات دانشگاه صنعتی شریف، ۱۳۷۷.
7. C. C., Nguyen, S. S., Antrazi, Z. L., Zhou, "Adaptive Control of a Stewart Platform Based Manipulator", Journal of Robotic Systems, 10(5), 657-687, 1993.
8. O., Masory, J., Wang, H., Zhuang, "On the Accuracy of Stewart Platform – Part II", Proceedings IEEE Int. Conference on Robotic and Automation, 1, 725-731, 1993.

جداول، منحنی‌ها و شکل‌ها

جدول (۱)- پارامترهای نامی مکانیزم استوارت

T_i	a_{i-1}	d_i	α_{i-1}	θ_i
1	0	$H_u(i)$	0	$\alpha_{B0}(i)$
2	$R_B(i)$	0	90	$90 + \theta_2(i)$
3	0	0	90	$90 + \theta_3(i)$
4	0	$d_4(i)$	90	0
5	0	$d_5(i)$	0	$\theta_5(i)$
6	0	0	90	$90 + \theta_6(i)$
7	0	0	90	$90 + \theta_7(i)$
8	0	0	90	$180 + \alpha_p(i) - \alpha_{B0}(i)$

این ماترس، یک ماتریس $6n \times m$ است که به صورت زیر به دست می‌آید:

$$J = \begin{bmatrix} \frac{\delta X_{11}}{\delta u_1} & \frac{\delta X_{21}}{\delta u_2} & \dots & \frac{\delta X_{m1}}{\delta u_m} \\ \frac{\delta X_{12}}{\delta u_1} & & & \vdots \\ \vdots & & & \\ \frac{\delta X_{1n}}{\delta u_1} & \dots & & \frac{\delta X_{mn}}{\delta u_m} \end{bmatrix} \quad (11)$$

هر کدام از عناصر $J_{ij} = \frac{\delta X_{ji}}{\delta u_j}$ ، یک بردار 1×6 است و به ترتیب زیر به دست می‌آید:

در نقطۀ شمارۀ i در نظر گرفته شده، یک تغییر در پارامتر خطای شمارۀ $z_j(u)$ اعمال می‌شود و سپس خروجی محاسبه می‌گردد. در همان نقطه، یک بار نیز بدون اعمال این تغییر، خروجی حساب می‌شود. از تفاضل دو مقدار به دست آمده، δX_{ji} و در نتیجه $\frac{\delta X_{ji}}{\delta u_j}$ به دست می‌آید.

دقت کنید که برای هر بار محاسبۀ ماتریس J باید $(n+1)m$ دفعه، سینماتیک مستقیم کلی مجموعه را حل کرد.

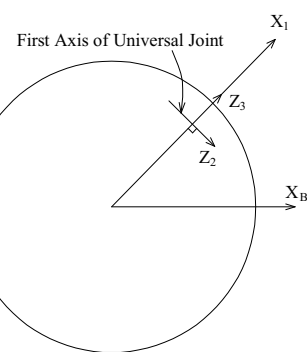
نتیجه‌گیری

در این مقاله، یک مدل دقیق از مکانیزم استوارت که انواع خطاهای ساخت و اندازه‌گیری را در بر می‌گیرد، ارائه شد. از روی نتایج به دست آمده و منحنی‌های شکل (۷) مشخص است که خطاهای ساخت صفحات پایه و متحرک، خطاطا در ساخت مفصل یونیورسال (فاصلۀ بین دو محور در مفصل) و خطاطا در اندازه‌گیری عملگرها، از منابع اصلی ایجاد خطاطا در خروجی می‌باشند. همچنین میزان خطایی که در خروجی ایجاد می‌شود، تقریباً برابر با دقت حسگرهای به کار گرفته شده در عملگرها و نیز برابر با مقدار ترانس در نظر گرفته شده در ساخت است. در ادامه با توجه به الگوریتم کالیبراسیون به کار گرفته شده، می‌توان کلیۀ خطاهای ساخت هندسی را جبران کرد و بنابراین مهمترین عامل در تعیین میزان دقت خروجی، دقت عملگرها به کار گرفته شده است.

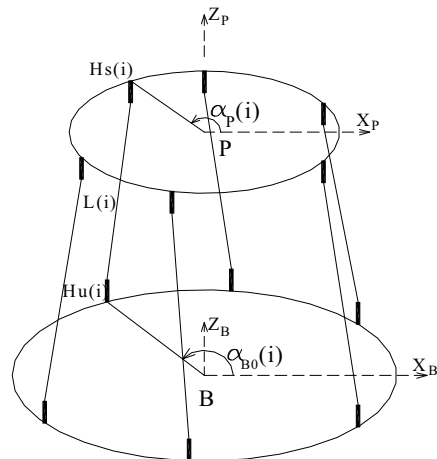
مراجع

جدول (۲)- پارامترهای واقعی مکانیزم استوارت

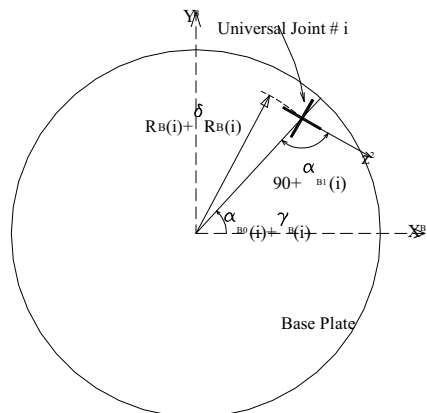
T_i	a_{i-1}	d_i	α_{i-1}	θ_i
1	0	$-d_{B1}(i)$	0	$-\alpha_{B1}(i) + \alpha_{B0}(i) + \gamma_B(i)$
2	$a_B(i)$	$-d_0(i)$	$90 + \beta(i)$	$90 + \theta_2(i)$
3	$a_0(i)$	$d_1(i)$	$90 + \alpha_0(i)$	$90 + \theta_3(i)$
4	$a_1(i)$	$d_4(i) + \delta d_4(i)$	90	0
5	$a_2(i)$	$d_5(i)$	0	$\theta_5(i)$
6	0	0	90	$90 + \theta_6(i)$
7	0	0	90	$90 + \theta_7(i)$
8	0	0	90	$180 + \alpha_p(i) + \gamma_p(i) + \alpha_{B1}(i) - \alpha_{B0}(i) - \gamma_B(i)$



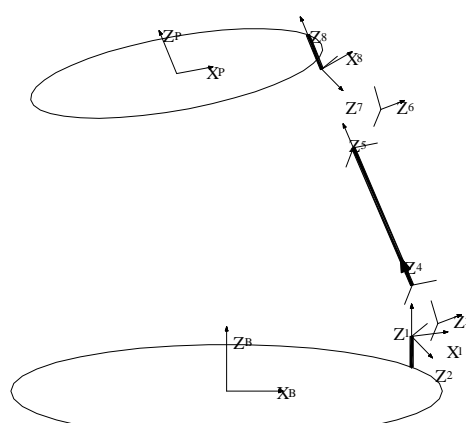
شکل ۳- موقعیت دستگاههای مختصات روی صفحه پایه در حالت نامی



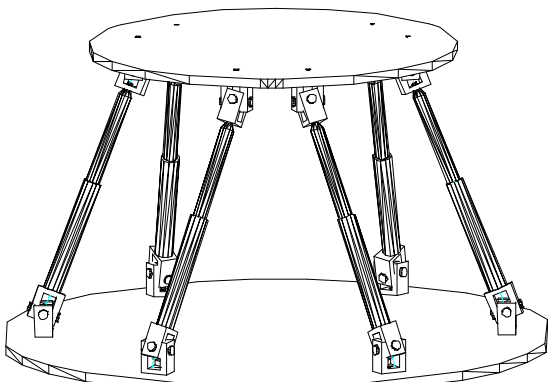
شکل ۱- مدل نامی مکانیزم استوارت



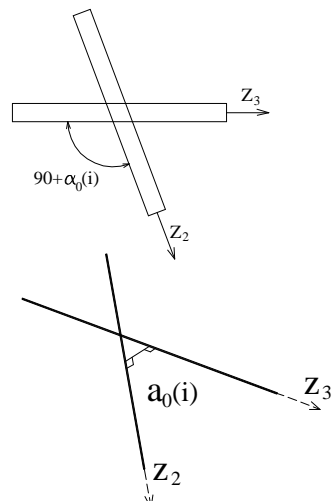
شکل ۴- خطاهای در نظر گرفته شده برای موقعیت مفصل یونیورسال



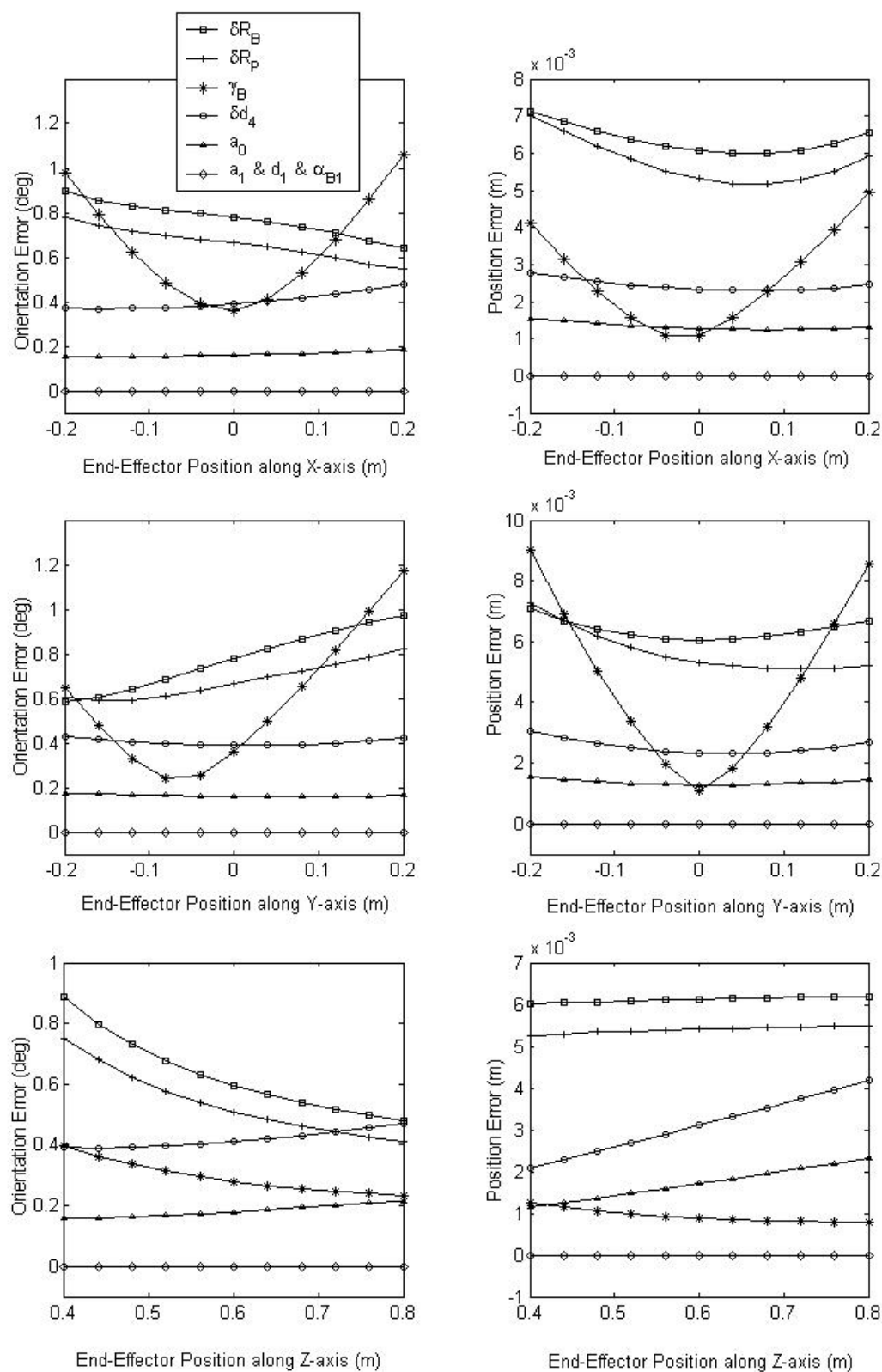
شکل ۲- یکی از مجموعهای سری مکانیزم و دستگاههای مختصات به کار رفته



شکل ۶- مدل مکانیزم استوارت ساخته شده در ویژوال نسترن



شکل ۵- خطاهای موجود در ساخت مفصل یونیورسال



شکل ۷- مقایسه خطای ایجاد شده در خروجی در اثر منابع مختلف خطای